

TAVŞANLarda GLL. ANALES, GLL. PERINEALES MAJOR VE MINOR'UN MAKRO ANATOMİK VE HİSTOMORFOLOJİK YAPISI

Makro Anatomische und histomorphologische Struktur von Gll. anales, Gll. perineales major und minor bei den Hasen

M. ÇAKIR*

K. O. KAHVECİOĞLU**

V. ONAR**

H. ALPAK**

S. ÖZCAN***

ÖZET

Bu çalışmada Niğde yöresinde yetişirilen 6-12 aylık yaşlarda 14 adet erkek tarla tavşanı kullanılmıştır. Gll. anales'lerin, Gll. perinales major ve minor'ların diseksiyonu yapıldı. Bezlerin ağırlık ve uzunlukları ölçüldü. Gll. anales'lerden histolojik preparatlar hazırlandı. Sonuç olarak Gll. anales'lerin apokrin tipde bez olduğu tespit edildi.

Anahtar Sözcükler: Tavşan, Gl. analis, Gl. perinealis, Anatomi, Histoloji.

ZUSAMMENFASSUNG

In dieser Arbeit wurden insgesamt 14, 6-12 monatige männliche Hasen, die in der Umgebung von Niğde gezüchtet wurden, gebraucht. Gll. anales, Gll. perinales major und minor wurden durchgeschnitten. Die Drüsen wurden gewogen und die Länge der Drüsen wurden gemessen. Histologische Preparate wurden von Gll. anales von bereitet. Die Ergebnisse Zeigten, dass Gll. anales eine Drüse von apokrinischer Typ ist.

Schlüsselwörter: Hase, Gl. analis, Gl. perinealis, Anatomie, Histologie.

GİRİŞ

Gl. Analis M. spincter ani exterus'un Pars superficialis'i ile M. ischiocavernosus kaslarının altında yerleşmiştir (1). Corpus penisin lateral kenarında, M. sphincter ani externus'un kas liflerinin çıkış yerine komşu olarak Gl. perinealis [inguinalis] major, Gl. perinealis [inguinalis] minor ile aynı yerde, Sinus cutaneus perinealis'e [inguinalis] yerleşmiştir (1).

Gll. anales; köpeklerde canalis analis'in çevresinde, canalis anorectalis'in cranial'inde rectum'un mucosası'nın caudal kısmının altında bulunur (2), sona intermedia'nın caudal'inde yerleşmiştir (2-4). Tubulo alveoler bezlerdir. Apocrin salgı yapır (2,5). Fonksiyonel alana (salgı alanına) çıkışları farklı genişlikteki alveol çeşitleri ile karakterizedir (2).

MATERIAL ve METOT

Bu çalışmada Niğde yöresinde (Temmuz 1996) yetişirilen 14 adet erkek tarla tavşanı kullanılmıştır. Hayvanlar Chloralhydrate ile anestezi edildikten sonra, sol cavum thorax açılarak Apex cordis kesildi. Kanı boşaltıldıktan

sonra ilk serum fizyolojik ile yıkandı. 6. Hayvana mavi boyalı karıştırılmış ZPK-582-6 Latex verildi. Diğer hayvanlara Formalin Sodyum asetat solusyonundan 80-100 cc arcus aorta'dan verildi. Bu hayvanlarda hemen sol Gl. analis, Gl. perinealis major ve Gl. perinealis minor'lar çıkartıldı. Libror EB-3200H hassas terazide tarıldı ve uzunlukları ölçüldü. Bezler içinde Formalin sodyum asetat solusyonu bulunan kaplara ayrı ayrı konuldu. 1 hafta süreyle testibedildikten sonra dereceli alkollerden ve xilolden geçirilerek parafin blokları hazırlandı. Bloklardan 5-6 μ kalınlığında kesitleri yapıldı. Kesitler Triple ve Hematoxylin-Eosin ile boyanarak hazırlanan preparatlar, Olimpus BX-50 mikroskopta incelendi ve resimleri çekildi.

Araştırmada Nomina Anatomica Veterinaria (N. A. V., 1983) terimleri kullanıldı (6).

BULGULAR

Diseksiyonu yapılan tavşnlarda Gll. anales'ler, M. sphincter ani externus ve M. ischiocavernosus kaslarının altında, ilk kuyruk

* Niğde Üniversitesi Fen Bilimleri Enstitüsü, Niğde-Türkiye

** İstanbul Üniversitesi Veteriner Fakültesi Anatomi Bilim Dalı, Kars-Türkiye.

*** Kafkas Üniversitesi Veteriner Fakültesi Anatomi Bilim Dalı, Kars-Türkiye.

omurlarının ve canalis anorectalis'in lateral'inde bezler, şekil itibarıyle iğde çekir-değine benzemektedirler (Şekil 1, 1a).

Araştırmada kullanılan tüm hayvanlarda Gl. perinealis major, Gl. perinealis minor ve sinus cutaneus perinealis; corpus penis'in lateralinde, praeputium'a kadar uzandığı ve aynı yerde sinus cutaneus perinealis'inde yer aldığı gözlemlendi (Şekil 2).

Diseksiyonda kullanılan tüm hayvanlarda Gll. anales'lerin arteriel beslenmesinin Arteria iliaca interna'dan ayrılan A. caudalis lateralis adlı damar kolu tarafından sağlandığı tespit edildi. A. iliaca interna'nın, A. glutea internayı verdikten sonra N. ischiadicus'a arkadaşı olarak vücutun lateral yüzüne geçtiği, dorsal'e ve ventral'e doğru bir Rami musculares'i verdiği görüldü. 1.2 cm sonra caudal yönde seyrettikten sonra ventral'e doğru M. biceps femoris'e bir kol, Ramus muscularis'i verip, 1.3 cm caudale doğru gittikten sonra ventral'e ikinci bir kol daha verdiği gözlenen damarın kendisi caudel'e yöneltip kuyruğun ventral kenarında devam ettiği ve ventral'e verdiği son koldan 0.7 cm sonra ikiye ayrıldığı görülmüştür. Kollardan birinin derine gittiği, diğer kolun ise Gl. analis'i beslediği fark edilmiştir (Şekil 1, 1a).

Araştırmada kullanılan tüm tavşanlarda Gll. anales'lerin uzunluğunun 1.3-2.1 cm arasında, ağırlığının ise 0.80-0.23 gr arasında olduğu tespit edilmiştir (Tablo 1).

Gll. anales'lerden histolojik olarak hazırlanan ve miroskopta incelenen preparatlarda bez alveollerinin fonksiyona bağlı olarak alveol epitellerinin yassı, tekkatlı dizilmiş epitel hücrelerinden oluştuğu ve alveoller arasının gevşek bağ doku ile döşenmiş olduğu gözlemlendi. Bezin bu özellikleri ile apokrin salgı yapan bir bez karakteri gösterdiği tespit edildi (Şekil 3, 3a).

Araştırmada kullanılan hayvanlardan birine bez alveollerinin içinin yoğun hücre ile dolu ol-

duğu (Düzenli bir şekilde bir tarafta bulunan alveoller) gözlemlenmiştir (Şekil 4, 4a, 4b). Bu hücrelerin identifikasiyonu yapılmamıştır.

TARTIŞMA ve SONUÇ

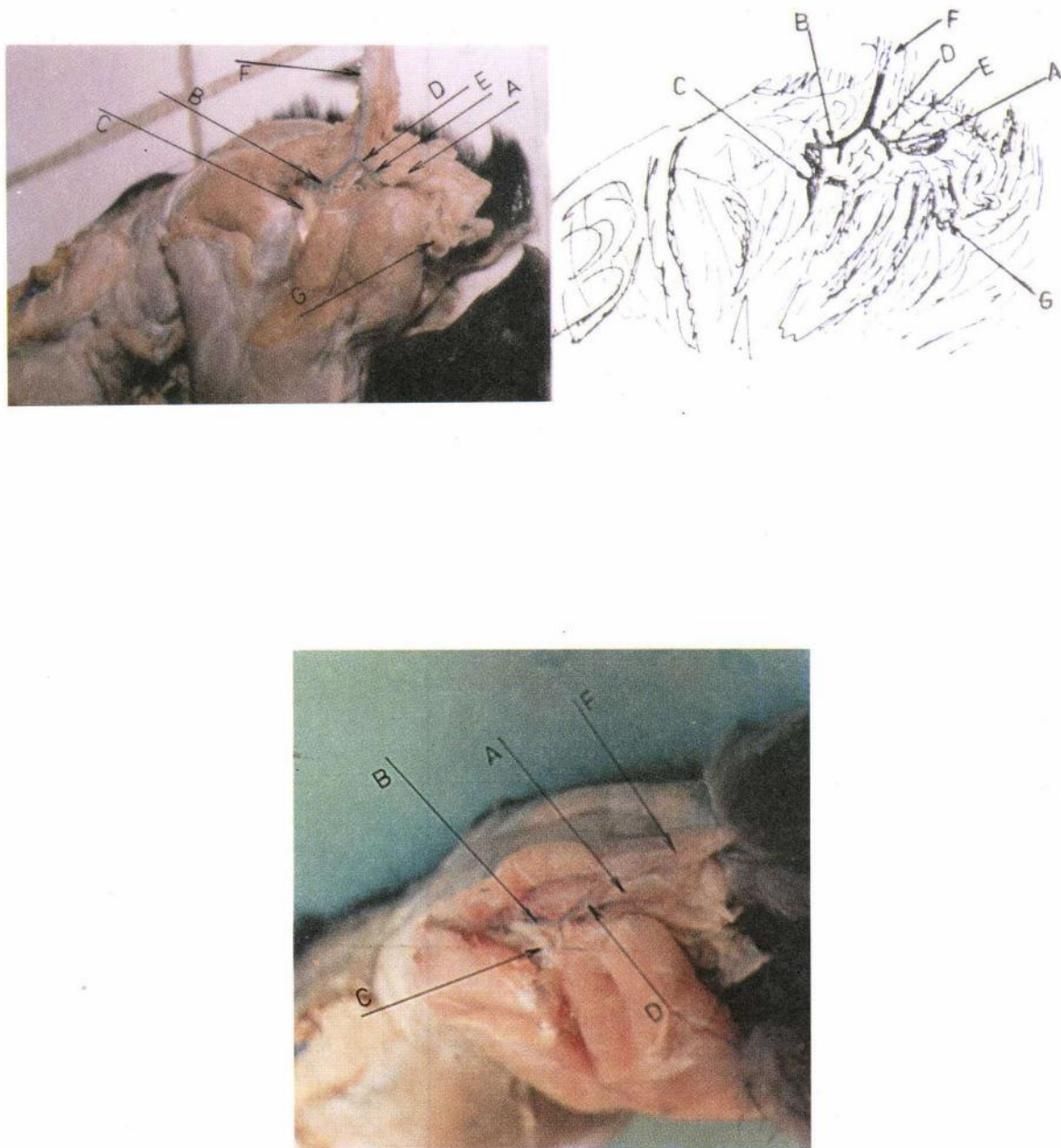
Gl. analis'in M. sphincter ani externus ile M. ischiocavernosus'un altında Linea anorectalis'in cranial'inde, zona intermedia'nın caudal'inde yerleştiği bildirilmiştir (1-4). Bu çalışmada diseksiyonu yapılan tüm tavşanlarda Gll. anales'lerin M. sphincter ani externus'un hemen altında olduğu, ilk kuyruk omurları boyunca yerleştiği, canalis anorectalis'in lateral'inde olduğu iğde çekirdeği şeklinde bulunduğu tespit edilmiştir. Gl. perinealis major ve minor'un, corpus penis üzerinde praeputium'a kadar uzandığı ve aynı yerde derinin hemen altında sinus cutaneus perinealis yer aldığı bildirilir (2). Araştırmada kullanılan tavşanlardaki bulgular da uygunluk göstermektedir.

İnsan ve Carnivorlarda bu bezlerin apokrin salgı yapan tubuloalveoler bezlerden olduğu söylemiştir (2,5). Tavşanlarda bu bezlerin yapısı hakkında literatüre rastlanmamış olmakla birlikte, histolojik araştırmada bez alveollerinin epitellerinin yassı, tek katlı dizilmiş epitel hücrelerinden oluşan, alveoller arasını gevşek bir bağ doku döşeyen apokrin salgı yapan bez olduğu tespit edildi. Bir tavşanda da alveol lumenini dolduran hücre kümeleri gözlemlendi, ancak bu hücrelerin identifikasiyonu yapılmadı.

KAYNAKLAR

1. Barone R, Pavaux C, Blin PC: Atlas D'Anatomie du Lapin, 86-88, Paris, 1973.
2. Berg RH: Angewandete und Topographische Anatomie der Haustiere 3., Überarbeitete Auflage. 346, Web Gustaw Verlag Jena, 1988.
3. Çalışlar T: Evcil Hayvanların Anatomisi (Genel). İstanbul Univ Vet Fak, İstanbul, 1988.
4. Dyce KM, Sack WO, Wensing CJG: Anatomi der Haustiere. 404, Ferdinand Enke Verlag Stuttgart, 1991.
5. Erbengi T: Histoloji Atlası. İstanbul Univ Yay, İstanbul, 1979.
6. Nomina Anatomica: Pb1. by International Committee on Veterinary Anatomical Nomenclature of the World Association Vienna, 1983.

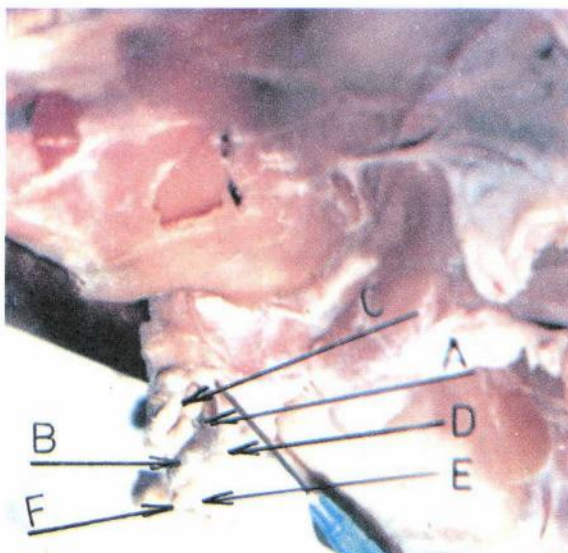
Tablo 1. Tavşanlarda sol gl. analis, gl. perinealis major ve gl. perinealis minor'un yaşa göre ağırlık ve uzunlukları
Table 1. Nach Alter wechselnde Gewicht und Länge von linken gl. analis, gl. perinealis major und gl. perinealis minor bei Hasen.



Sekil 1, 1a. Gl. analis'in yeri ve vascularisation'u

Abbildung 1, 1a. Die Stelle und die vascularisation des gl. analis.

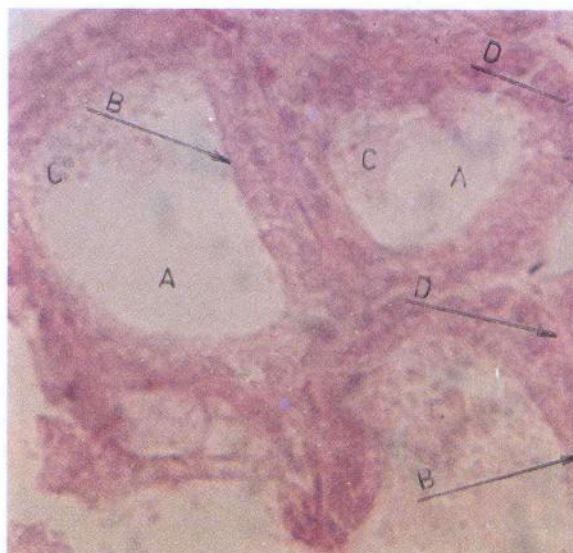
A) Gl. analis, B) A. caudalis lateralis, C) N. ischiadicus, D) Ramus ventralis, E) Ramus ventralis'ten ayrılan Gl. analis'e giden kol, F) Kuyruk, G) Glans penis



Şekil 2. Tavşanda Gl. perinealis major, minor ve sinus cutaneus perinealis

Abbildung 2. Gl. perinealis major, minor und sinus cutaneus perinealis bei Hasen.

A) Gl. perinealis major, B) Gl. perinealis minor, C) Sinus cutaneus perinealis, D) Corpus penis, E) Gland penis, F) praeputium



Şekil 3a. Tavşanda Gl. analis'in histolojik kesiti. Hematoxylin-Eosin x40

Abbildung 3a. Histologischer schnitt des gl. analis bei Hasen. Vergrösserung Hematoxylin-Eosin x40

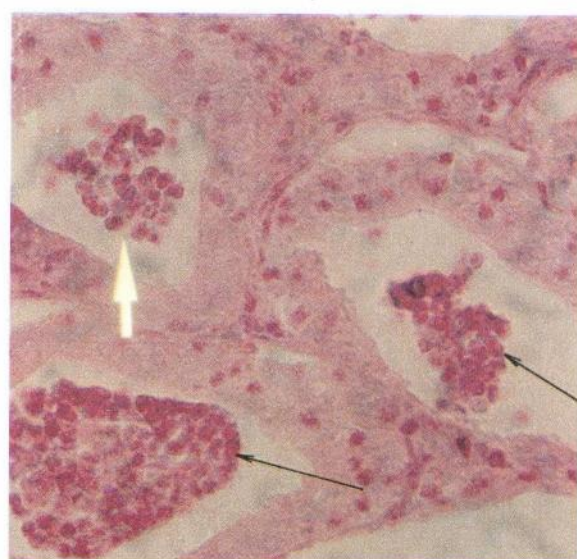
A) Alveol, B) Alveol epitheli, C) Salgı (Alveol içinde), D) Bağ doku lifleri.



Şekil 3. Tavşanda Gl. analis'in histolojik kesiti. Hematoxylin-Eosin x20

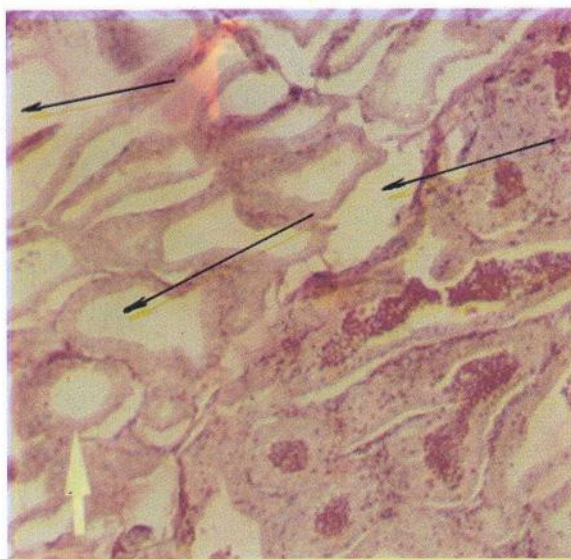
Abbildung 3. Histologischer Schnitt des gl. analis bei Hasen. Vergrösserung Hematoxylin-Eosin x20

A) alveol, B) alveol epitheli (Tek sıra yassi), B1) Alveol epitheli (Tek sıra prizmatik), C) Alveol (Az mikarda salgı), D) Bağ doku lifleri



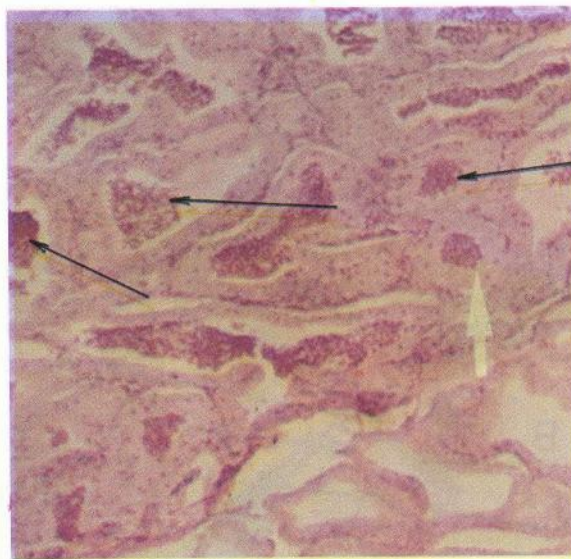
Şekil 4. Alveoller acre kümeleri. Hematoxylin-Eosin x40

Abbildung 4. Zellengruppen bei alveollen vergrosserung Hematoxylin-Eosin x40



Şekil 4a. Bir tavşan bez alveolleri boş olanlar. Hematoxylin-Eosin x10 (Siyah ve sarı ok)

Abbildung 4a. Leere Drüsenalveollen bei einen Hasen. Vergrösserung Hematoxylin-Eosin x10 (Schwarzer und gelber pfeil)



Şekil 4b. Bez alveollerinin hücre kümesi ile dolu olanlar (Siyah ve sarı ok) Hematoxylin-Eosin x10

Abbildung 4b. Mit zellen gefüllte stellen der Drüsenalveollen. (Schwarzter und gelber pfeil) Vergrosserung Hematoxylin-Eosin x10